

ВЛИЯНИЕ ПАРАМЕТРОВ  
СИНХРОННОГО РЕАКТИВНОГО ДВИГАТЕЛЯ  
НА ПРОЦЕСС ВХОЖДЕНИЯ В СИНХРОНИЗМ

Е. В. КОНОНЕНКО, А. Ф. ФИНК

(Представлена научным семинаром кафедр электрических машин и общей  
электротехники)

Широкое применение синхронных реактивных двигателей (СРД) в автоматизированном электроприводе возможно, если только хорошо известны их свойства в установившемся и переходных режимах. Из обзора литературы, посвященной исследованиям переходных процессов в СРД, следует, что из-за сложности физических явлений, происходящих в таких двигателях, теория их до настоящего времени в достаточной мере не изучена. В опубликованных работах по вопросам втягивания СРД в синхронизм [1—3 и др.] авторы ограничивались приближенными методами исследования, пренебрегая переходными электромагнитными процессами.

Процесс синхронизации является основным переходным процессом СРД. Схемы пуска должны обеспечивать наилучшие условия для втягивания двигателей в синхронизм, а также их автоматическую ресинхронизацию, если при перегрузке или при снижении напряжения в сети СРД выпадает из синхронизма. Вхождение в синхронизм обусловливается моментом, создаваемым пусковой обмоткой (асинхронный момент), и синхронным моментом, обусловленным разностью сопротивлений по осям  $d$  и  $q$ .

Для практических целей весьма важно знать заранее допустимые, по условиям синхронизации, предельные моменты нагрузки при прочих различных параметрах.

В настоящей работе, предполагая, что СРД работает при постоянном напряжении сети, рассматривается влияние на расчетную величину входного момента следующих факторов: активного сопротивления обмотки статора, инерционных постоянной ротора, индуктивного сопротивления по продольной оси  $x_d$ , отношения  $\frac{x_d}{x_q}$  и постоянных обмоток ротора  $T_d$  и  $T_q$ .

Анализ влияния указанных параметров проводился по полным уравнениям Парка — Горева [4] с учетом общепринятых допущений. Принимая электромагнитный момент положительным в режиме работы двигателем (а ось  $q$  опережает ось  $d$  на угол  $90^\circ$ ), эти уравнения с использованием системы относительных единиц могут быть записаны в операторной форме в следующем виде:

$$r\psi_d - (1 - s)\psi_q + ri_d = -U \sin \Theta,$$

$$r\psi_q + (1-s)\psi_d + r \cdot i_q = U \cdot \cos \Theta,$$

$$r\psi_{dr} + r_{rd} \cdot i_{dr} = 0,$$

$$r\psi_{qr} + r_{rq} \cdot i_{qr} = 0,$$

$$\omega_s T_j r^2 \Theta + \psi_d i_q - \psi_q i_d = M_c,$$

где величины без дополнительных индексов относятся к обмоткам статора, а с индексом  $r$  — к обмоткам ротора соответственно по осям  $d$  и  $q$ .

$T_j$  — инерционная постоянная;

$\Theta$  — угол, образованный поперечной осью полюсов ротора с вектором напряжения;

$S$  — скольжение.

В основу исследований положена методика расчета процесса входления в синхронизм на аналоговой вычислительной машине ЭМУ-10, подробно рассмотренная в [4].

Согласно этой методике решение проводилось в фазовых координатах. За величину входного момента принималось значение момента сопротивления  $M_c$ , для которого относительная скорость ротора машины при асинхронном ходе достигает нуля, а интегральная кривая проходит через неустойчивую точку типа «седло».

Двигатель будет ресинхронизироваться, если в случае нарушения динамической устойчивости момент будет меньше или равен входному.

При исследовании определяются два граничных значения для входного момента  $M_{bx}$ , отличающиеся не более, чем на 0,001 отн. ед., которые удовлетворяют условию, что при меньшем граничном значении  $M_{bx}$  двигатель втягивается в синхронизм, а при большем продолжает работать в установленном асинхронном режиме.

Исследование влияния параметров на величину входного момента удобно проводить в плоскости двух параметров. При этом остальные параметры принимаются постоянными.

Как показали расчеты, на величину входного момента СРД большое влияние оказывает величина активного сопротивления обмотки статора и инерционная постоянная. На рис. 1 представлены зависимо-

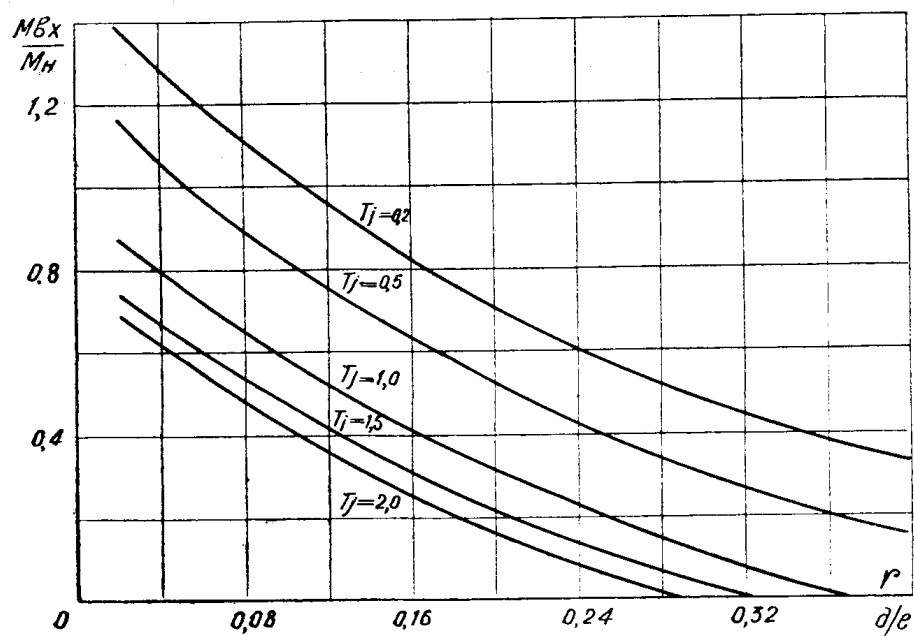


Рис. 1. Влияние активного сопротивления и инерционной постоянной на величину входного момента

сти  $\frac{M_{вх}}{M_н} = f(r)$  при различных инерционных постоянных  $T_j$ , рассчитанные для СРД, имеющего следующие параметры:

$$x_d = 2,33; \quad x_q = 0,45; \quad x_{rd} = 2,31; \\ x_{rq} = 0,428; \quad r_{rd} = 0,0557; \quad r_{rq} = 0,0428.$$

Как видно из кривых, при увеличении активного сопротивления обмотки статора входной момент уменьшается. Объясняется это тем, что при увеличении  $r$  возрастают апериодическая и косинусоидальная составляющие момента в синхронном режиме, что приводит к уменьшению максимального момента.

Из рис. 1 также видно, что с увеличением инерционной постоянной входной момент уменьшается. Действительно, при увеличении инерционной постоянной втягивание в синхронизм возможно при меньших скольжениях, так как для двигателя данной конструкции величина  $\frac{S^2 T_j}{2}$  есть постоянная, что соответствует по пусковой характеристике уменьшению величины входного момента.

При проектировании СРД большое значение имеет правильный выбор величин постоянных пусковых обмоток  $T_d$  и  $T_q$ . На рис. 2 представлены зависимости  $\frac{M_{вх}}{M_н} = f(T_d)$ , полученные для различных инерционных постоянных. Параметры двигателя оставались прежними, за

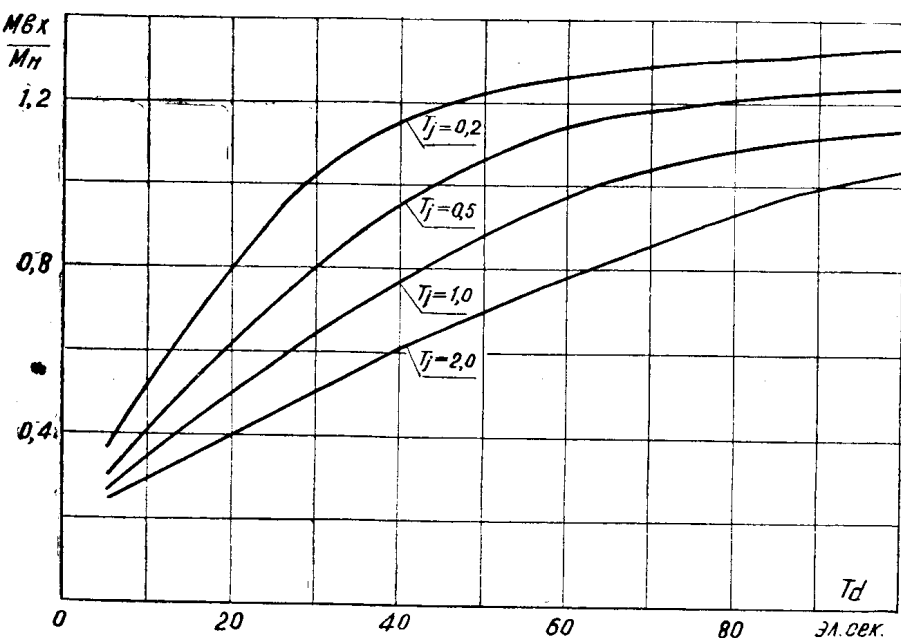


Рис. 2. Влияние параметров ротора и инерционной постоянной на величину входного момента.

исключением того, что  $r=0,049$  и  $T_q=0,25 T_d$ . Как видно из приведенных данных, с увеличением постоянных пусковых обмоток входной момент увеличивается. При отсутствии обмоток на роторе втягивание в синхронизм практически невозможно, так как уменьшается крутизна пусковой характеристики, что ухудшает условия для вхождения в синхронизм.

На работу СРД большое влияние оказывает величина синхронного индуктивного сопротивления  $x_d$ , которая находится в обратно пропорциональной зависимости от величины воздушного зазора.

На рис. 3 приведены зависимости  $\frac{M_{bx}}{M_h} = f\left(\frac{x_d}{x_q}\right)$ , построенные для различных  $T_j$  и следующих постоянных параметрах:  $x_q = 0,45$ ;  $r = 0,049$ ;  $x_{rq} = 0,428$ ;  $r_{rd} = 0,0557$ ;  $r_{rq} = 0,0428$ . По оси ординат откладываются значения  $\frac{M_{bx}}{M_h}$ , рассчитанные для максимальных моментов соответствующих каждой величине  $x_d$ . Анализ зависимостей позволяет установить, что относительная величина входного момента изменяется незначительно с изменением  $\frac{x_d}{x_q}$ .

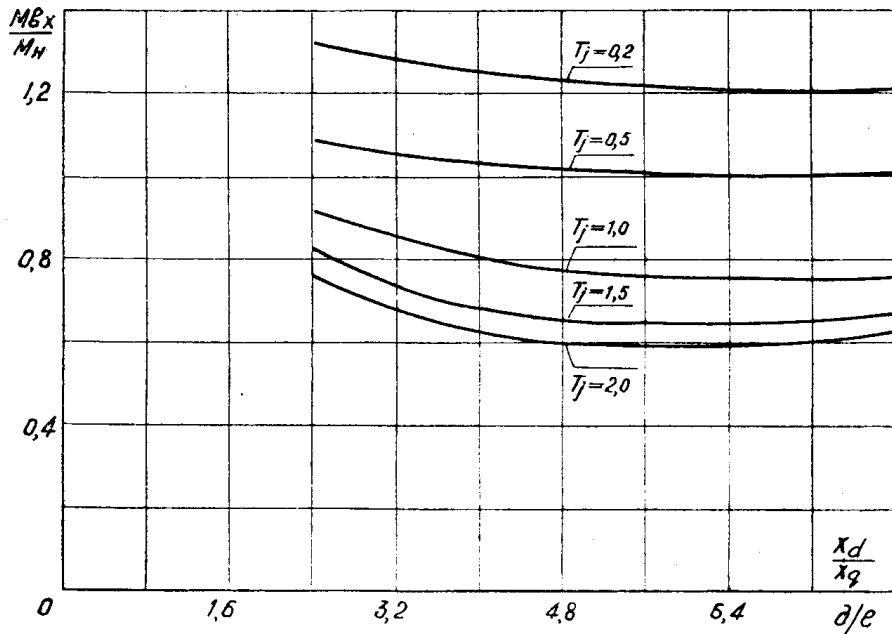


Рис. 3.

Определялось также влияние на входной момент индуктивного сопротивления  $x_d$  при различных инерционных постоянных и  $\frac{x_d}{x_q} = 5 = \text{const}$  (рис. 4).

Постоянными оставались параметры:

$r = 0,049$ ;  $r_{rd} = 0,0557$ ;  $r_{rq} = 0,0428$ . По оси ординат откладываются значения  $\frac{M_{bx}}{M_h}$ , рассчитанных, как и в предыдущем случае. Анализ кривых

позволяет установить, что относительное значение  $\frac{M_{bx}}{M_h}$  возрастает линейно с увеличением  $x_d$ .

Результаты аналитических исследований проверялись экспериментально на двигателе типа СРО-41-4 мощностью 4 квт и 1500 об./мин., работающего от сети с постоянным напряжением через последовательно включенные активные сопротивления. Испытуемый двигатель имел следующие параметры  $x_d = 2,05$ ;  $x_q = 0,48$ ;  $x''_d = 0,15$ ;  $x''_q = 0,24$ ;  $T_d = 54,2$  эл. сек.;  $T_q = 11,9$  эл. сек.;  $T_j = 0,62$  сек. Экспериментально определялись зависимости  $M_{bx} = f(r)$  при различных инерционных постоянных. Результаты эксперимента удовлетворительно совпадают с расчетными.

Проведенные исследования позволяют сделать следующие выводы:

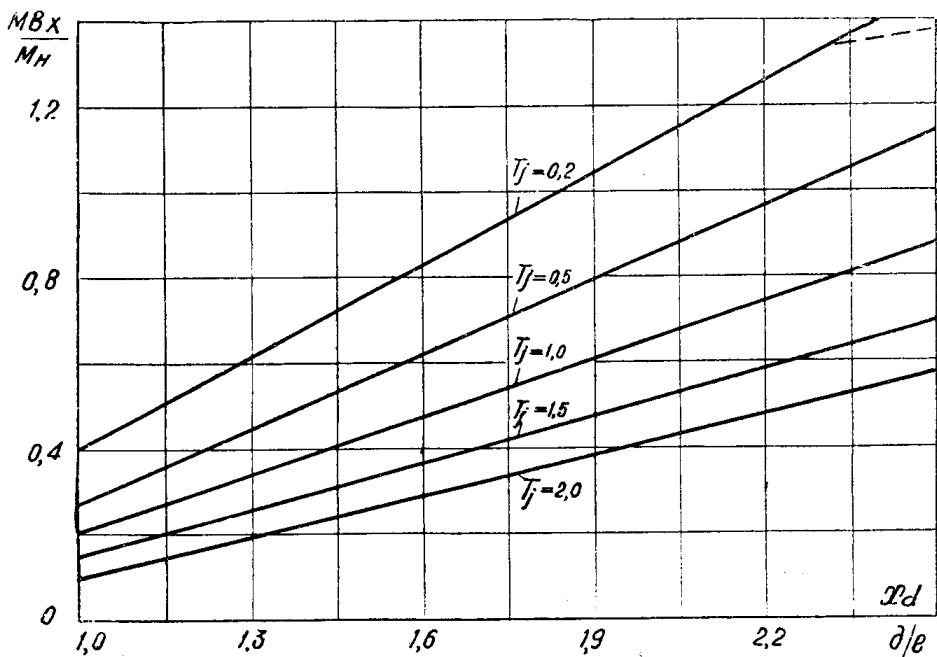


Рис. 4.

1: При соответствующем выборе параметров синхронный реактивный двигатель может быть спроектирован с входным моментом, равным номинальному, что позволяет пуск осуществлять при номинальной нагрузке на валу.

2. Полученные зависимости позволяют с достаточной для практики точностью определить влияние параметров СРД на величину входного момента.

#### ЛИТЕРАТУРА

1. А. М. Ланген. Определение максимально допустимого момента входа в синхронизм реактивного двигателя. ВЭП, № 12, 1956.
2. John Douglas F. H. Pull-in Criterion for Reluctance Motors. «Applications and Industry» N 4, July 1960.
3. Д. П. Костенко. Вхождение в синхронизм синхронно-реактивного двигателя. Вестник Киевского политехнического института, № 1, 1964.
4. Е. В. Кононенко, А. Ф. Финк. Применение вычислительной машины ЭМУ-10 для исследования переходных электромеханических процессов в синхронных реактивных двигателях. Известия ТПИ, т. 160, 1966.